

# Численные методы решения обыкновенных дифференциальных уравнений и их систем

## Численное решение задачи Коши для обыкновенных дифференциальных уравнений.

Обыкновенным дифференциальным уравнением (ОДУ)  $n$ -го порядка называется уравнение вида

$$F(x, y, y', \dots, y^{(n)}) = 0,$$

где  $x$  – независимая переменная,  $y(x)$  – искомая функция,  $y', \dots, y^{(n)}$  – ее производные,  $F$  – заданная функция  $(n+2)$ -х переменных.

Если дифференциальное уравнение  $n$ -го порядка можно записать в виде

$$y^{(n)} = f(x, y, y', \dots, y^{(n-1)}),$$

то такое уравнение называется уравнением в *нормальной форме* или уравнением, *разрешенным относительно старшей производной*.

*Решением* дифференциального уравнения  $n$ -го порядка на интервале  $(a, b)$  называется  $n$  раз непрерывно дифференцируемая функция  $y = \varphi(x)$ , которая обращает данное уравнение в тождество на этом интервале.

**Задача Коши** (или *начальная задача*) для обыкновенного дифференциального уравнения  $n$ -го порядка состоит в следующем: найти решение уравнения

$$F(x, y, y', \dots, y^{(n)}) = 0,$$

удовлетворяющее *начальным условиям*

$$y(x_0) = y_0, \quad y'(x_0) = y_1, \quad \dots, \quad y^{(n-1)}(x_0) = y_{n-1},$$

где  $x_0, y_0, y_1, \dots, y_{n-1}$  – заданные числа.

Рассмотрим задачу Коши для ОДУ первого порядка:

$$\begin{cases} y' = f(x, y), \\ y(x_0) = y_0. \end{cases}$$

Будем считать, что функция  $f(x, y)$  в некоторой области удовлетворяет всем необходимым требованиям и задача поставлена корректно, т.е. решение задачи Коши существует и единственно. В большинстве случаев интегрирование таких уравнений невозможно не только в элементарных, но и в специальных функциях. Поэтому были созданы различные методы приближенного решения дифференциальных уравнений – аналитические, графические, численные. В результате применения численных методов искомую функцию получают **в табличном виде**, т.е. в виде таблиц значений функции  $y(x)$  в узловых точках  $x_i$ .

Выберем достаточно малый шаг  $h$  и построим систему равноотстоящих точек (сетку)

$$x_i = x_0 + ih, \quad i = 0, 1, 2, \dots,$$

которые называются узлами сетки.

Выполним дискретизацию задачи Коши, т.е. заменим дифференциальное уравнение разностным уравнением

$$y_{i+1} = \Phi(x_i, y_{i-p+1}, y_{i-p+2}, \dots, y_i, y_{i+1}) \quad (i \geq p-1),$$

которое необходимо решить на каждом шаге для нахождения  $y_{i+1}$ .

Выбор функции  $\Phi$  определяет метод численного решения дифференциального уравнения. Если она не зависит от  $y_{i+1}$ , то получают **явный** метод (явную формулу для вычисления  $y_{i+1}$ ), в противном случае – **неявный** метод. Метод, дающий формулу для вычисления  $y_{i+1}$  по  $m$  предыдущим значениям  $y_{i-m+1}, y_{i-m+2}, \dots, y_i$ , называется  $m$ -шаговым. Существуют две группы численных методов решения задачи Коши: одношаговые (или методы Рунге--Кутты) и многошаговые разностные методы.

Говорят, что **метод сходится в точке  $x^*$** , если построена последовательность сеток, таких что

$$x^* = x_0 + nh \quad (h \rightarrow 0, n \rightarrow \infty) \quad \text{и} \quad y(x^*) - y_n \rightarrow 0 \quad \text{при} \quad h \rightarrow 0.$$

Если существует такое  $p > 0$ , что  $y(x^*) - y_n = O(h^p)$  при  $h \rightarrow 0$ , то говорят, что метод имеет  **$p$ -й порядок точности**.

Погрешность метода численного решения в точке  $x_i$  определяется нормой разности  $y(x_i) - y_i$ , где  $y(x_i)$  – точное, а  $y_i$  – приближенное решение. **Локальной погрешностью** называют ошибку на данном шаге при условии, что предыдущие значения верны. **Глобальная погрешность** – это разность между вычисленным и точным решением, определяемым начальным условием.

### Метод Эйлера (метод ломаных).

Этот метод является простейшим явным одношаговым методом.

Найдем решение уравнения  $y' = f(x, y)$ , удовлетворяющее начальному условию  $y(x_0) = y_0$ .

Согласно методу Эйлера уравнение  $y' = f(x, y)$  заменяется разностным уравнением

$$\frac{y_{i+1} - y_i}{h} = f(x_i, y_i),$$

где  $x_i = x_0 + ih$ ,  $i = 0, 1, 2, \dots$  Решение этого уравнения находится явным образом по рекуррентной формуле

$$y_{i+1} = y_i + hf(x_i, y_i), \quad i = 0, 1, 2, \dots$$

Геометрически, метод Эйлера состоит в том, что интегральную кривую  $y = y(x)$ , проходящую через точку  $(x_0, y_0)$  (т.е. график решения задачи Коши) заменяют ломаной с вершинами в точках  $M_i(x_i, y_i)$ . Эта ломаная называется **ломаной Эйлера**. Ее звенья  $M_i M_{i+1}$  – отрезки прямых с угловыми коэффициентами  $f(x_i, y_i)$ .

На каждом шаге метод Эйлера дает **погрешность** порядка  $h^2$  (**локальная погрешность**).

**Глобальная погрешность** метода имеет первый порядок, т.е. равна  $O(h)$ .

### Метод Эйлера-Коши.

Этот метод является модификацией метода Эйлера.

Сначала по формуле метода Эйлера находят «грубое» приближение (или **предиктор**)

$$y_{i+1}^{(0)} = y_i + hf(x_i, y_i),$$

которое затем уточняют по формуле

$$y_{i+1} = y_i + \frac{h}{2} (f(x_i, y_i) + f(x_{i+1}, y_{i+1}^{(0)})),$$

получая так называемый **корректор**.

**Локальная** погрешность метода –  $O(h^3)$ , **глобальная** погрешность –  $O(h^2)$ .

### Метод Рунге-Кутты.

Идея построения методов Рунге-Кутты порядка  $p$  состоит в следующем. Приближения к решениям  $y(x_{i+1})$  ищут по формуле вида

$$y_{i+1} = y_i + h\varphi(x_i, y_i, h),$$

где  $\varphi(x, y, h)$  – некоторая функция, приближающая отрезок ряда Тейлора  $p$ -го порядка и не содержащая частных производных функции  $f(x, y)$ :

$$y(x_{i+1}) = y(x_i) + hy'(x_i) + \frac{1}{2}h^2 y''(x_i) + \dots + \frac{1}{p!}h^p y^{(p)}(x_i) + o(h^{p+1}).$$

Метод Эйлера является методом Рунге-Кутты первого порядка точности. Для построения методов Рунге-Кутты порядка  $p > 1$  функцию  $\varphi(x, y, h)$  полагают зависящей от нескольких параметров. Их значения подбирают, сравнивая выражение  $y_{i+1} = y_i + h\varphi(x_i, y_i, h)$  с многочленом Тейлора степени  $p$ .

Расчетные формулы *метода Рунге-Кутты четвертого порядка* имеют вид:

$$y_{i+1} = y_i + \frac{1}{6}(k_1^{(i)} + 2k_2^{(i)} + 2k_3^{(i)} + k_4^{(i)}),$$

где

$$k_1^{(i)} = hf(x_i, y_i), \quad k_2^{(i)} = hf\left(x_i + \frac{h}{2}, y_i + \frac{k_1^{(i)}}{2}\right),$$

$$k_3^{(i)} = hf \left( x_i + \frac{h}{2}, y_i + \frac{k_2^{(i)}}{2} \right), \quad k_4^{(i)} = hf \left( x_i + h, y_i + k_3^{(i)} \right),$$

причем  $x_i = x_0 + ih$ ,  $i = 0, 1, 2, \dots$

*Локальная* погрешность метода –  $O(h^5)$ , *глобальная* погрешность –  $O(h^4)$ .

Формулы более высокого порядка точности, как правило, не используются в связи с их громоздкостью, возрастающей значительно быстрее, чем точность формулы.

## Численное решение задачи Коши для системы обыкновенных дифференциальных уравнений.

## Метод Эйлера.

Формула Эйлера легко обобщается на случай систем обыкновенных дифференциальных уравнений в нормальной форме:

[illegible]

с начальными условиями

$$y_1(x_0) = y_1^{(0)}, \quad y_2(x_0) = y_2^{(0)}, \quad \dots, \quad y_n(x_0) = y_n^{(0)}.$$

Приближенные значения  $y_k^{(i)}$  точного решения  $y_k(x_i)$  вычисляются по формулам:

$$y_k^{(i)} = y_k^{(i-1)} + hf_k(x_{i-1}, y_1^{(i-1)}, y_2^{(i-1)}, \dots, y_n^{(i-1)}), \quad k = \overline{1, n}, \quad i = 0, 1, 2, \dots$$

В частности, для системы двух уравнений вида

$$\begin{cases} y' = f(x, y, z), \\ z' = g(x, y, z) \end{cases}$$

с начальными условиями

$$y(x_0) = y_0, \quad z(x_0) = z_0$$

расчетные формулы метода Эйлера имеют вид

$$y_{i+1} = y_i + h f(x_i, y_i, z_i), \quad z_{i+1} = z_i + h g(x_i, y_i, z_i),$$

где  $x_i = x_0 + ih, i = 0, 1, 2, \dots$

### Метод Рунге-Кутта.

Расчетные формулы метода Рунге-Кутта четвертого порядка для системы двух уравнений

$$\begin{cases} y' = f(x, y, z), \\ z' = g(x, y, z) \end{cases}$$

с начальными условиями

$$y(x_0) = y_0, \quad z(x_0) = z_0$$

имеют вид

$$y_{i+1} = y_i + \frac{1}{6} (k_1^{(i)} + 2k_2^{(i)} + 2k_3^{(i)} + k_4^{(i)}),$$

$$z_{i+1} = z_i + \frac{1}{6} (r_1^{(i)} + 2r_2^{(i)} + 2r_3^{(i)} + r_4^{(i)})$$

где

$$k_1^{(i)} = hf(x_i, y_i, z_i), \quad r_1^{(i)} = hg(x_i, y_i, z_i)$$

$$k_2^{(i)} = hf\left(x_i + \frac{h}{2}, y_i + \frac{k_1^{(i)}}{2}, z_i + \frac{r_1^{(i)}}{2}\right), \quad r_2^{(i)} = hg\left(x_i + \frac{h}{2}, y_i + \frac{k_1^{(i)}}{2}, z_i + \frac{r_1^{(i)}}{2}\right),$$

$$k_3^{(i)} = hf\left(x_i + \frac{h}{2}, y_i + \frac{k_2^{(i)}}{2}, z_i + \frac{r_2^{(i)}}{2}\right), \quad r_3^{(i)} = hg\left(x_i + \frac{h}{2}, y_i + \frac{k_2^{(i)}}{2}, z_i + \frac{r_2^{(i)}}{2}\right),$$

$$k_4^{(i)} = hf(x_i + h, y_i + k_3^{(i)}, z_i + r_3^{(i)}), \quad r_4^{(i)} = hg(x_i + h, y_i + k_3^{(i)}, z_i + r_3^{(i)}),$$

причем  $x_i = x_0 + ih, i = 0, 1, 2, \dots$

## Основные функции пакета Mathematica, используемые при решении дифференциальных уравнений и их систем.

**DSolve**[*eqn*, *y*[*x*], *x*] – решает дифференциальное уравнение *eqn* с функцией *y* и независимой переменной *x*.

**DSolve**[*eqn*, *y*[*x*], {*x*, *a*, *b*}] – находит решение дифференциального уравнения *eqn* относительно функции *y*(*x*) на отрезке [*a*, *b*].

**DSolve**{*eqn1*, *eqn2*, ...}, {*y1*[*x*], *y2*[*x*], ...}, *x*] – находит решение системы дифференциальных уравнений *eqn1*, *eqn2*, ... относительно функций *y1*, *y2*, ... с независимой переменной *x*.

**NDSolve**[*eqn*, *y*[*x*], {*x*, *a*, *b*}] – находит численное решение дифференциального уравнения *eqn* относительно функции *y*(*x*) на отрезке [*a*, *b*].

**NDSolve**{*eqn1*, *eqn2*, ...}, {*y1*[*x*], *y2*[*x*], ...}, {*x*, *a*, *b*}] – находит численное решение системы дифференциальных уравнений *eqn1*, *eqn2*, ... относительно функций *y1*, *y2*, ... на отрезке [*a*, *b*].

**Floor**[*x*] – выделяет целую часть выражения *x*;

**Floor**[*x*, *a*] – определяет наибольшее число, кратное *a*, которое меньше или равно *x*.

**Prepend**[*expr*, *elem*] – добавляет в начало списка *expr* список значений *elem*.

**ListPlot**[*list*, *PlotJoined*→*True*] – строит точки из списка *list* и соединяет их отрезками прямых.

### Примеры численного решения дифференциальных уравнений и их систем средствами пакета Mathematica.

**Пример 1.** Решить задачу Коши  $y' = -xy$ ,  $y(0) = 1$ :

а) методом Эйлера на отрезке  $[0, 1]$  с шагом  $h = 0,1$ ;

б) с помощью функции **DSolve**.

Сравнить полученные решения в узлах таблицы. Проиллюстрировать графиками.

Δ а) Введем функцию  $f(x, y)$  – правую часть уравнения, границы отрезка, начальные значения  $x_0$ ,  $y_0$ , шаг  $h$ , найдем число точек разбиения отрезка  $n$  (не считая  $x_0$ ):

```
In[1]:= f[x_, y_] = -x y;
```

```
In[2]:= a = 0; b = 1; x0 = 0; y0 = 1; h = 0.1; n = Floor[ $\frac{b-a}{h}$ ];|  
|округление вниз
```

Составим таблицу приближенных значений функции  $y(x)$ , вычисленных с помощью метода Эйлера:

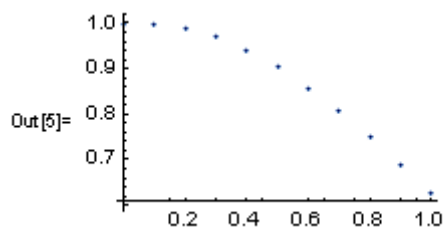
```
In[3]:= x = x0; y = y0; eul1 = Table[{x, y} = {x + h, y + h f[x, y]}, {i, n}];  
|таблица значений
```

```
In[4]:= eul1 = Prepend[eul1, {x0, y0}]  
|добавить в начало
```

```
Out[4]= {{0, 1}, {0.1, 1.}, {0.2, 0.99}, {0.3, 0.9702},  
{0.4, 0.941094}, {0.5, 0.90345}, {0.6, 0.858278},  
{0.7, 0.806781}, {0.8, 0.750306}, {0.9, 0.690282}, {1., 0.628157}}
```

Изобразим полученные точки на графике:

```
In[5]:= gr1 = ListPlot[eul1, ImageSize -> Small]  
|диаграмма разб... |размер изо... |малый
```



б) Решим задачу Коши с помощью функции **DSolve**.

```
In[6]:= Clear[x, y]  
|очистить
```

```
In[7]:= sol = DSolve[{y'[x] == f[x, y[x]], y[x0] == y0}, y[x], x]  
|решить дифференциальные уравнения
```

```
Out[7]= {{y[x] ->  $e^{-\frac{x^2}{2}}$ }}
```

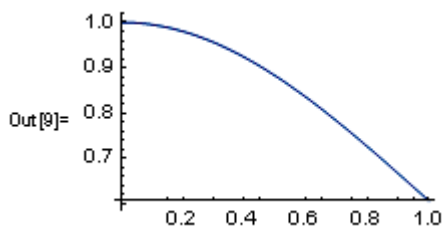
Решение сохраним в виде функции  $y1(x)$ :

```
In[8]:= y1[x_] = y[x] /. Flatten[sol]  
|уплостить
```

```
Out[8]=  $e^{-\frac{x^2}{2}}$ 
```

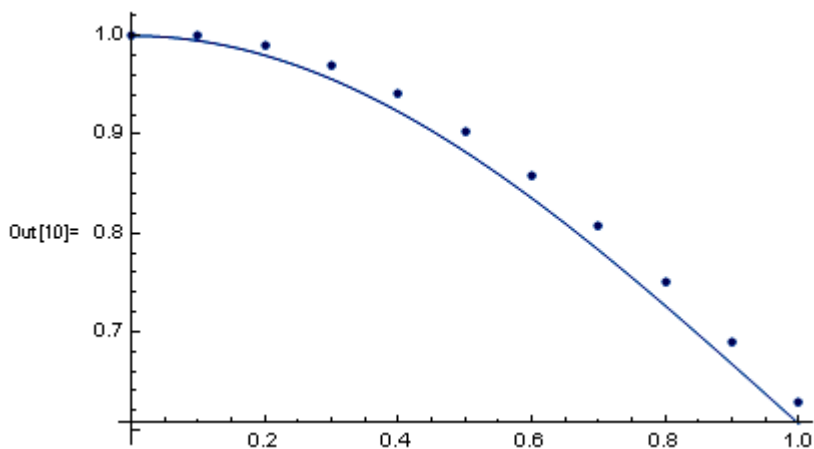
Построим ее график на отрезке  $[0, 1]$ :

```
In[9]:= gr2 = Plot[y1[x], {x, 0, 1}, ImageSize -> Small]
      |      |      |      |
      |график функции|      |размер изо...| |малый
```



Сравним полученные решения графически:

```
In[10]:= Show[gr1, gr2, ImageSize -> Medium]
      |      |      |
      |показать|      |размер изо...| |средний
```



Оценим погрешность приближенного решения, найдя вектор ошибки и его норму:

```
In[11]:= delta = Table[y1[x0 + (i - 1) h] - eul1[[i, 2]], {i, n + 1}]
      |      |
      |таблица значений
```

```
Out[11]= {0., -0.00498752, -0.00980133, -0.0142025, -0.0179777, -0.0209533,
      -0.0230075, -0.0240765, -0.0241574, -0.0233051, -0.0216258}
```

```
In[12]:= Norm[delta]
      |
      |норма
```

```
Out[12]= 0.0615491
```



**Пример 2.** Решить задачу Коши  $y' = 0,3x + y^2$ ,  $y(0) = 0,6$ :

а) методом Рунге-Кутты 4-го порядка на отрезке  $[0, 1]$  с шагом  $h = 0,1$ ;

б) с помощью функций **DSolve** и **NDSolve**.

Сравнить полученные решения.



Δ а) Введем функцию  $f(x, y)$  – правую часть уравнения, границы отрезка, начальные значения  $x_0$ ,  $y_0$ , шаг  $h$ , найдем число точек разбиения отрезка  $n$  (не считая  $x_0$ ):

```
In[1]:= f[x_, y_] = 0.3 x + y^2;
```

```
In[2]:= a = 0; b = 1; x0 = 0; y0 = 0.6; h = 0.1; n = Floor[ $\frac{b-a}{h}$ ];
```

|округление вниз

Организуем цикл и создадим таблицу **sol1** приближенных значений решения дифференциального уравнения, полученных с помощью метода Рунге-Кутты:

```
In[3]:= sol1 = List[{x0, y0}];
```

|список

```
In[4]:= x = x0; y = y0;
```

```
For[k = 1, k < n + 1, k++,
```

|цикл ДЛЯ

```
  k1[x_, y_] := h * f[x, y];
```

```
  k2[x_, y_] := h * f[x + h/2, y + k1[x, y]/2];
```

```
  k3[x_, y_] := h * f[x + h/2, y + k2[x, y]/2];
```

```
  k4[x_, y_] := h * f[x + h, y + k3[x, y]];
```

```
  x = x + h; y = y + (k1[x, y] + 2 * k2[x, y] + 2 * k3[x, y] + k4[x, y]) / 6;
```

```
  sol1 = Append[sol1, {x, y}]]
```

|добавить в конец

Выведем таблицу:

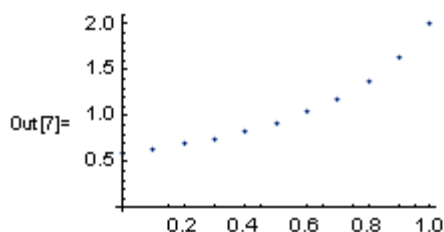
```
In[6]:= sol1
```

```
Out[6]:= {{0, 0.6}, {0.1, 0.643059}, {0.2, 0.695247},  
          {0.3, 0.758465}, {0.4, 0.835315}, {0.5, 0.929462}, {0.6, 1.04623},  
          {0.7, 1.19367}, {0.8, 1.38454}, {0.9, 1.6403}, {1., 2.00017}}
```

Изобразим полученные точки на графике:

```
In[7]:= gr1 = ListPlot[sol1, ImageSize -> Small]
```

|диаграмма разб... |размер изо... |малый



б) Решим данную задачу Коши с помощью функций **DSolve** и **NDSolve**. Полученные аналитическое и численное решения обозначим **sol2** и **sol3** соответственно.

```
In[8]:= Clear[x, y]
```

ОЧИСТИТЬ

```
In[9]:= sol2 = DSolve[{y'[x] == f[x, y[x]], y[x0] == y0}, y[x], x];
```

решить дифференциальные уравнения

```
y1[x_] = y[x] /. Flatten[sol2]
```

уплостить

```
Out[10]= -((0.273861
  (1. x^(3/2) BesselJ[-4/3, 0.365148 x^(3/2)] - 2.4589 x^(3/2) BesselJ[-2/3, 0.365148 x^(3/2)] +
  1.82574 BesselJ[-1/3, 0.365148 x^(3/2)] - 1. x^(3/2) BesselJ[2/3, 0.365148 x^(3/2)]))/
  (x (1. BesselJ[-1/3, 0.365148 x^(3/2)] - 1.22945 BesselJ[1/3, 0.365148 x^(3/2)])))
```

Как видно, аналитическое решение выражается через функции Бесселя.

Численное решение система **Mathematica** выдает в виде некоторой интерполирующей функции:

```
In[11]:= sol3 = NDSolve[{y'[x] == f[x, y[x]], y[x0] == y0}, y[x], {x, 0, 1}]
```

численно решить ДУ

```
Out[11]= {{y[x] -> InterpolatingFunction[{{0., 1.}}][x]}}
```

Заметим, что по умолчанию функция **NDSolve** использует метод Рунге-Кутты.

Построим графики этих решений.

```
In[12]:= gr2 = Plot[y1[x], {x, 0, 1}, ImageSize -> Small]
```

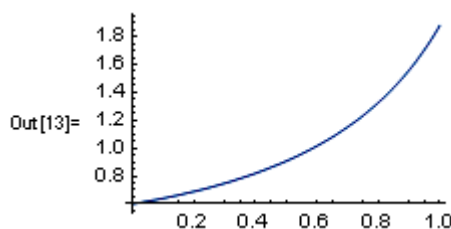
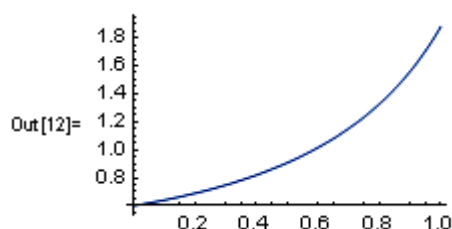
график функции

размер изо... малый

```
In[13]:= gr3 = Plot[Evaluate[y[x] /. sol3], {x, 0, 1}, ImageSize -> Small]
```

гра... вычислить

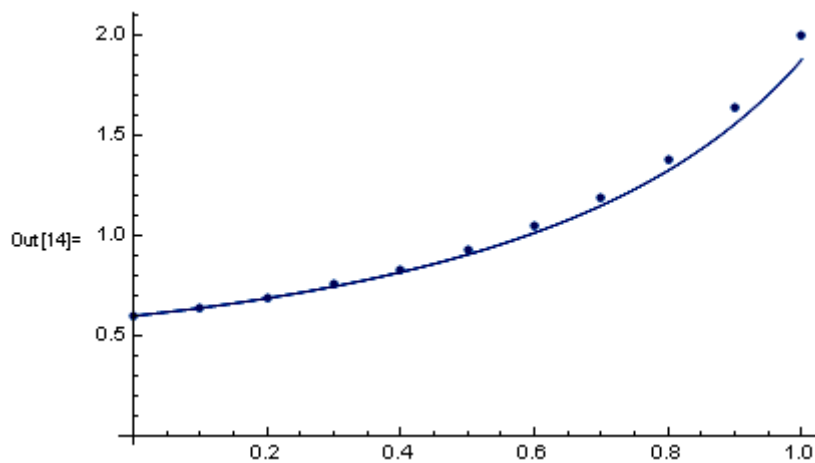
размер изо... малый



Сравним решения, полученные тремя способами (методом Рунге-Кутты, с помощью функций **DSolve** и **NDSolve**), графически:

```
In[14]:= Show [gr1, gr2, gr3, ImageSize -> Medium]
```

[показать](#) [размер изображения](#) [средний](#)



Графики решений **sol2** и **sol3** совпали.

Очевидно, метод Рунге-Кутты дает более точное приближенное решение, чем метод Эйлера. ▲